

# 相对论性核碰撞中 $K^+/\pi^+$ 增强的 输运模型解释

王仲奇 萨本豪 宋光 陆中道 张孝泽 郑玉明

(中国原子能科学研究院 北京 102413)

1993年3月2日收到

## 摘要

提出了一个研究相对论性核碰撞中  $K^+/\pi^+$  增强的简单的强子输运模型, 指出了核子热运动和多次再散射效应的重要性。考虑了多次再散射, 在合理的温度范围内 ( $T \sim 150\text{MeV}$ ), 可得到与实验相符合的  $K^+/\pi^+$  比值( $\sim 0.20$ )。

**关键词**  $K^+/\pi^+$  增强, 输运模型, 核子热运动, 多次再散射。

## 1 引言

相对论性核碰撞是当今物理学研究的一个崭新的充满希望的领域。其研究内容之一, 即寻找物质的新形态——夸克-胶子等离子体(QGP)。

核-核碰撞中的  $K^+/\pi^+$  比值, 相对于同能量的质子-质子(或质子-核)碰撞的增强, 被普遍认为是探测反应过程中是否形成了 QGP 的一个重要手段(讯号)。

欲确认  $K^+/\pi^+$  增强为 QGP 的讯号, 需排除能导致增强的非 QGP 的可能性。迄今世人已做过许多建立在强子背景下的研究工作, 它大致分为两类: 一是热模型(thermal model)<sup>[1-4]</sup>; 另一是输运模型<sup>[5-7]</sup>。大多数热模型的结果是: 无需 QGP 用强子机制就能解释  $K^+/\pi^+$  增强的实验事实。可是仅有的两个输运模型<sup>[5,6]</sup>的结果, 却恰然相反, [5]说可, 而[6]则说不可。

为了澄清这个问题, 我们提出了一个研究再散射对  $K^+/\pi^+$  效应的, 简单的输运模型。受[5]的启发, 模型中初级  $\pi$  和  $K$  介子迳直由 Fritiof 粒子产生器<sup>[8]</sup>提供, 但作为  $\pi$  再散射配偶的核子, 仍然像[6]那样假设为靶核的核子。不过我们的模型考虑了多次再散射, 并假设核子有热运动。

计算结果表明: 只要核系统是热的, 用此简单的输运模型, 凭借  $\pi$  的多次再散射, 就能解释  $K^+/\pi^+$  增强的实验事实。

## 2 模型

文献[5]的 RQMD (相对论性量子分子动力学), 在描写核碰撞的强子输运过程方

面,是自我完整的,但处理 $\pi$ 和K等初级粒子的产生,却很大程度地依赖于Fritiof,特别是它的子程序Jetset。因此干脆用Fritiof作初级粒子产生器,以得到初级的 $\pi$ 和K介子,这样既省去了描写核-核碰撞前期过程的麻烦,也无须像[6]那样对初级 $\pi$ 和K作假设。所用的Fritiof版本,详见[9]。

$K^+/\pi^+$ 增强的实验<sup>[10]</sup>是14.6A GeV/c Si与Au的中心碰撞。为研究再散射对 $K^+/\pi^+$ 的效应,把初级 $\pi$ 和K均匀地布置在弹核Si对心地穿过靶核Au时所截下的几何柱体内(注意,Fritiof计算不能提供介子的空间位置)。假设能与其相碰的残留核子(领头核子、旁观者核子和强子化后核子等)的数目等于靶核子数;残留核子是均匀地分布在靶核的球几何内;残留核子的动量服从玻尔兹曼分布,即

$$f(p) = \text{const} \cdot \frac{p^2}{T^{3/2}} e^{-p^2/(2m_n T)}, \quad (1)$$

$$\langle p \rangle = \sqrt{2m_n T}, \quad (2)$$

式中 $T$ 是核温度(以Gev为单位), $m_n$ 是核子质量, $\langle p \rangle$ 是平均核子动量(以Gev/c为单位)。

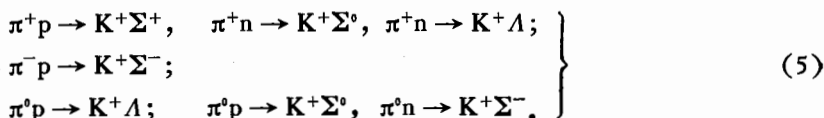
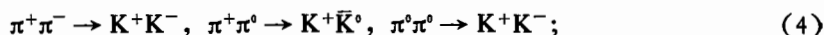
由以上给的 $\pi$ 和核子的各种分布及两粒子(指 $\pi$ 或核子,因为K的再散射可以忽略)间最小逼近距离必须满足的条件

$$d_{\min} \leq \sqrt{\sigma_{\text{tot}}/\pi}, \quad (3)$$

(这里 $\sigma_{\text{tot}}$ 是 $\pi n$ 或 $\pi\pi$ 总截面,取为 $\sigma_{\text{tot}}^{\pi n} = 2.5 \text{ fm}^2$ , $\sigma_{\text{tot}}^{\pi\pi} = 1.0 \text{ fm}^2$ ),就可构成粒子的碰撞表。

接着要从初始碰撞表挑出碰撞时间最短者,执行所挑的碰撞,然后更新碰撞表。更新碰撞表,先要从原碰撞表中去掉那些碰撞对,其中有一粒子是属当前碰撞对的粒子(设为i,j)。接着要加进所有可能的新碰撞对,它们是由i(或j)和另一粒子(来自粒子表但不可是i或j)构成并满足条件(3)。如此反复,直至碰撞表空了为止。

因关心的是 $\pi$ 再散射对 $K^+/\pi^+$ 的效应,只考虑 $\pi n$ 和 $\pi\pi$ 碰撞,具体是 $\pi n$ 还是 $\pi\pi$ 由相应总截面随机抽样决定。对于任一碰撞事件,只考虑最重要的有关K<sup>+</sup>产生的2→2的下述非弹性散射过程:



若碰撞事件是 $\pi\pi$ ,那么式(4)所列的三个具体过程各有其发生的几率(即相应过程的截面和 $\sigma_{\text{tot}}^{\pi\pi}$ 的比值),以其为权重统计K的产生。再用一个随机数与相应的 $\pi\pi \rightarrow KK$ 具体过程截面的比较,判断一下该 $\pi\pi \rightarrow KK$ 的过程是否真的发生。若是,则此输运历史即告结束(因为不考虑K的再散射)。若否,输运历史就继续,即执行此 $\pi\pi$ 碰撞,求出碰撞后两个 $\pi$ 的状态(这儿为简单计,按弹性散射处理),所有粒子都按其牛顿轨迹走一段时间(等于前面抽出的最小碰撞时间),再更新粒子表,更新碰撞表……。对于 $\pi n$ 事件亦然。 $\pi\pi \rightarrow KK$ 的截面均设为 $0.05 \text{ fm}^{2[6]}$ ,而 $\pi n \rightarrow K^+Y$ (Y指 $\Lambda$ 或 $\Sigma$ )截面,则采用

[11]的同位旋平均的参数化形式。

对于(4)或(5)中的任一具体过程,由质心能量  $\sqrt{s}$  和动量质心系中粒子能量和动量的表达式<sup>[12]</sup>,就可得到  $K^+$  的能量和动量的模。至于动量的方向,假设  $\pi n$  生成的  $K^+$  其动量沿入射  $\pi$  的方向,而  $\pi\pi$  生成的  $K^+$  其动量方向由  $4\pi$  均匀抽样<sup>[6]</sup>。

### 3 结果与讨论

结果列于表 1 中。由结果的分析得知: 第一, 在冷的 ( $T = 0$ ) 和静的 (核子动量  $p_n = 0$ , 即[6]考虑的情形) 残留核系统情形下, 由于阈能效应拒绝了大部分  $K^+$  产生过程, 致使  $K^+/\pi^+$  增强不及实验结果。第二, 只有考虑多次再散射, 而且假设残留核系统是热的(实际上就该这样), 在合理的温度参数 ( $T \sim 150\text{ MeV}$ ) 下,  $K^+/\pi^+$  增强的实验数据  $\sim 0.20^{[10]}$ , 完全可以被解释。第三, 光有多次再散射(而  $T$  近于 0 或  $p = 0$ ), 或者  $T \neq 0$  ( $p \neq 0$ ) 但只有一次再散射, 都无法解释实验。进一步要研究  $\pi\pi \rightarrow KK$  截面的效应、不同形成时间  $\tau$ (现结果是  $\tau = 0$ ) 的效应、残留核系统密度的效应、以及手征对称恢复的效应等, 这些都在进行之中。

表 1  $K^+/\pi^+$  比值

再散射	无	一次	多次	多次	一次	多次	多次	多次	实 验
$T(\text{MeV})$	静态	静态	静态	1	100	100	150	200	
$K^+/\pi^+$	0.049	0.063	0.069	0.077	0.069	0.21	0.24	0.26	$0.24 \pm 0.05$
$K^-/\pi^-$	0.012	0.021	0.022	0.022	0.019	0.027	0.029	0.029	$0.04^{+0.04}_{-0.02}$

$$\sigma_{\pi\pi \rightarrow KK} = 0.5\text{ mb}$$

作者感谢赵维勤教授的有益讨论,感谢丁林凯教授提供了 Fritiof 程序。

### 参 考 文 献

- [1] L.H. Xia and C.M. Ko, *Phys. Lett.*, **B222**(1989)343; C.M.Ko, Z.G. Wu, L.H. Xia and G.E. Brown, *Phys. Rev. Lett.*, **66**(1991)2577.
- [2] B.L. Friman, *Nucl. Phys.*, **A498**(1989)161c.
- [3] J. Cleymans, H. Satz, E. Suhonen and D.W. von Oertzen, *Phys. Lett.*, **B242**(1990)111.
- [4] C.M. Mader, W. Bauer and G.D. Westfall, *Phys. Rev.*, **C45**(1992)2438.
- [5] R. Mattiello, H. Sorge, H. Stöcker and W. Greiner, *Phys. Rev. Lett.*, **63**(1989)1459.
- [6] Chao Weiqin, Gao Chongshou and Zhu Yunlun, *Nucl. Phys.*, **A514**(1990), 734.
- [7] 任江龙,高能物理和核物理, **16**(1992)44.
- [8] B. Nilsson Almqvist and E. Stenlund, *Comput. Phys. Comm.*, **43**(1988)387.
- [9] 王仲奇,“Fritiof程序的移植和开发”,计算物理(待发表).
- [10] Y. Miike and G.S.F. Stephans, *Z. Phys.*, **C38**(1988)135.
- [11] P. Koch, B. Müller and J. Rafeiski, *Phys. Rep.*, **142**(1986)167.
- [12] R. Hagedorn, *Relativistic kinematics, a guide to the kinematic problems of high-energy physics*, New York, Benjamin, 1963.

## Hadronic Transport Model Explanation of $K^+/\pi^+$ Ratio in Relativistic Nucleus-nucleus Collisions

Wang Zhongqi Sa Benhao Song Guang Lu Zhongdao

Zhang Xiaoze Zheng Yuming

(China Institute of Atomic Energy, Beijing 102413)

Received on March 2, 1993

### Abstract

We propose a simple hadronic transport model for investigating the  $K^+/\pi^+$  ratio in relativistic nucleus-nucleus collisions and point out that the thermal motion of baryons and multiple rescattering effect play an important role in the enhancement of  $K^+/\pi^+$  ratio. The experimental data of enhancement of  $K^+/\pi^+$  ratio could be explained within a reasonable temperature parameter ( $\sim 150\text{MeV}$ ).

**Key words** enhancement of  $K^+/\pi^+$  ratio, transport model, thermal motion of nucleon, multiple rescattering.